

## О РАВНОВЕСИИ И УСТОЙЧИВОСТИ ЭЛЛИПСОИДАЛЬНЫХ ПЛАЗМОИДОВ

*В.А.Кутвицкий, Л.С.Соловьев*

*Институт земного магнетизма, ионосферы и распространения радиоволн РАН  
142092 Троицк Московской обл., Россия*

Поступила в редакцию 25 февраля 1994 г.

В работе исследуется равновесие и устойчивость ограниченных плазменных образований, наблюдающихся в атмосфере Солнца. Ограничиваясь рассмотрением аксиально-симметричных конфигураций в пренебрежении гравитационным полем для некоторого частного класса распределений токов, удается получить точные решения для равновесий и локальных критериев их устойчивости. При этом предполагается наличие внешнего однородного магнитного поля и внешней плазмы постоянного давления.

### 1. Равновесие аксиально-симметричных плазменных конфигураций.

В пренебрежении гравитационным полем давление  $p$  постоянно на магнитных поверхностях  $\psi = rA_\varphi = \text{const}$ , плотность  $\rho$  – произвольная функция координат, а равновесное магнитное поле описывается уравнением Грэда–Шаффранова [1], которое в сферической системе координат  $r, \theta, \varphi$  имеет вид

$$\frac{\partial^2 \psi}{\partial r^2} + \frac{\sin \theta}{r^2} \frac{\partial}{\partial \theta} \frac{1}{\sin \theta} \frac{\partial \psi}{\partial \theta} + II'(\psi) + r^2 \sin^2 \theta p'(\psi) = 0, \quad (1)$$

где  $p(\psi)$  – давление,  $I(\psi) = r \sin \theta B_\varphi$  – функция тока, азимутальная составляющая плотности тока  $j_\varphi = II'/r \sin \theta + r \sin \theta p'$ .

Для класса конфигураций с  $p(\psi) = p_0 + p'\psi$ ,  $I(\psi) = \alpha\psi$  уравнение (1) становится линейным уравнением с известной правой частью и его решения выражаются элементарными функциями [2, 3]

$$\psi = \left[ -\frac{p'r^2}{\alpha^2} + \sum a_n f_n(\alpha r) P'_n(\cos \theta) \right] \sin^2 \theta, \quad (2)$$

где  $f_n(z) = z^{1/2} J_{n+1/2}(z)$ ,  $J_{n+1/2}(z)$  – бесселевы функции,  $P'_n(x)$  – производные полиномов Лежандра. В случае чисто азимутального тока  $j = j_\varphi$ ,  $B_\varphi = 0$

$$\psi = \left[ -\frac{p'r^4}{10} + \sum b_n r^{n+1} P'_n(\cos \theta) \right] \sin^2 \theta, \quad (3)$$

Решение уравнения (1) во внешнем пространстве, где отсутствуют токи, но имеется однородное магнитное поле  $B_e = B_{0e} e_z$

$$\psi_e = \left[ \frac{B_{0e} r^2}{2} + \sum \frac{c_n}{r^n} P'_n(\cos \theta) \right] \sin^2 \theta. \quad (4)$$

Функции  $f_n(z)$  и  $P'_n(x)$  представляются формулами

$$f_1(z) = \frac{\sin z}{z} - \cos z, \quad f_2(z) = \frac{3}{z} f_1(z) - \sin z, \quad f_3(z) = \frac{15}{z^2} f_1(z) - \frac{6}{z} \sin z + \cos z, \dots,$$

$$P'_1(x) = 1, \quad P'_2(x) = 3x, \quad P'_3(x) = 3/2(5x^2 - 1), \dots$$

2. Равновесие и устойчивость плазменных эллипсоидов при  $j = j_\varphi = r \sin \theta p'$

а. В случае азимутальных токов, ограничиваясь одной первой гармоникой (3) и потребовав ее непрерывности с внешним полем (4) на поверхности сферы  $r = R$ ,  $\psi = 0$ , получим равновесную функцию  $\psi$  вида

$$\psi = \frac{B_0}{2} \left( r^2 - \frac{r^4}{R^2} \right) \sin^2 \theta, \quad \psi_e = \frac{B_{0e}}{2} \left( r^2 - \frac{R^3}{r} \right) \sin^2 \theta, \quad B_{0e} = -\frac{2}{3} B_0, \quad (5)$$

где  $B_0 = B_z(0, \theta)$ . Это решение известно в гидродинамике как вихрь Хилла. При использовании двух гармоник (3) (первой и третьей) можно получить внутреннее решение для  $\psi$ , обращающегося в нуль на поверхности эллипсоида. В цилиндрических координатах  $r$ ,  $\varphi$ ,  $z$  оно имеет вид

$$\psi = \frac{p'}{8} \frac{1}{1 + 1/\nu^2} \Psi(r, z), \quad \Psi(r, z) = r^2(2R_0^2 - r^2 - 4z^2/\nu^2), \quad (6)$$

где  $\nu = l_z/l_r$  – отношение полуосей эллиптических поперечных сечений магнитных поверхностей в окрестности магнитной оси  $r = R_0$ . Граничной поверхностью  $\Sigma$ , на которой  $\psi(r, z) = 0$ , является эллипсоид вращения, проходящий через точки  $r = R$ ,  $z = \nu_\Sigma R$ , причем  $R^2 = 2R_0^2$ ,  $\nu_\Sigma = \nu/2$ . Распределение давления описывается формулой

$$p = p_0 + 2B_0^2 \left( 1 + \frac{1}{4\nu_\Sigma^2} \right) \frac{r^2}{R^2} \left[ 1 - \frac{1}{R^2} \left( r^2 + \frac{z^2}{\nu_\Sigma^2} \right) \right]. \quad (7)$$

Давление максимально на магнитной оси  $r = R_0$  и совпадает с внешним давлением  $p_0$  в центре эллипсоида. Магнитные поверхности для случая вытянутого эллипсоида и распределение давления в плоскости  $z = 0$  показаны на рис.1. Функцию  $\psi = rA_\varphi$  для внешнего магнитного поля можно вычислить интегрированием по токам, причем однородная составляющая  $B_{ze}$  определяется из требования  $B_z = 0$  в седловой особой точке  $r = 0$ ,  $z = \nu_\Sigma R$  граничной магнитной поверхности.

б. Равновесная конфигурация (6) относится к классу конфигураций с замкнутыми силовыми линиями магнитного поля. Для исследования ее устойчивости применим общегеометрический необходимый критерий Шпиза [4]. Для рассматриваемого случая аксиальной симметрии при  $j = j_\varphi$ ,  $B_\varphi = 0$  такой критерий был впервые получен в работе Бернштейна и др. [5]. Согласно этому критерию, область устойчивости определяется неравенством

$$\Lambda = -p' \left( \gamma p \frac{V''}{V} - p' \right) > 0, \quad (8)$$

где  $V$  – текущий объем, отсчитываемый от магнитной оси тороидальной равновесной конфигурации, штрихами обозначены производные по  $\psi$ ,  $\gamma$  – показатель адиабаты. Переходя к производным по  $\Psi$  и подставив  $p = p_0 + p'\psi$ , получим

$$\Lambda = -\beta p'^2 \left[ \frac{\gamma \dot{V}''(\Psi)}{V'(\Psi)} \left( 1 + \frac{\Psi}{\beta} \right) + \frac{1}{\beta} \right], \quad (9)$$

где

$$\beta = \frac{8p_0(1 + 1/\nu^2)}{p'^2 R_0^4} = \frac{2p_0}{(1 + 1/\nu^2) B_0^2},$$

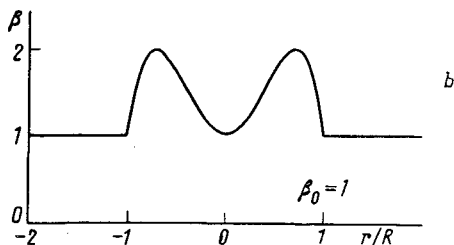
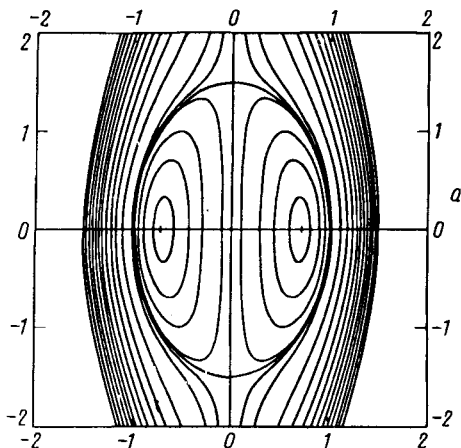


Рис.1.

$p_0$  - внешнее давление,  $B_0$  - магнитное поле в центре шара. (В системе CGS  $\beta = 8\pi p_0 / (1 + 1/\nu^2) B_0^2$ ). Выражение для удельного объема  $V'(\Psi)$  получается путем интегрирования вдоль магнитных силовых линий:

$$V'(\Psi) = \int \frac{r dr}{\partial \Psi / \partial z} = \int \frac{dr}{[2R_0^2 r^2 - r^4 - 4\Psi/\nu^2]^{1/2}} = \int \frac{dr}{[(r^2 - r_2^2)(r_1^2 - r^2)]^{1/2}},$$

где  $r_{1,2}^2/R_0^2 = 1 \pm \sqrt{1 - \Psi}$ . Отсюда видно, что удельный объем и "магнитная яма" выражаются через полные эллиптические интегралы:

$$V'(\Psi) = \frac{2K(k)}{r_2}, \quad \frac{V''(\Psi)}{V'(\Psi)} = \frac{(2 - k^2)^2}{8k^2} \left\{ 1 + \frac{2 - k^2}{k^2} \left[ 1 - \frac{E(k)}{(1 - k^2)K(k)} \right] \right\}, \quad (10)$$

где  $k = \sqrt{1 - r_2^2/r_1^2}$ . На магнитной оси  $r = R_0$ ,  $\Psi = 1$ ,  $k = 0$  и соответственно  $-V''/V' = 3/16$ , и при  $\gamma = 5/3$  критерий (9) дает  $\beta > 2, 2$ . На граничной сепаратрисной поверхности  $\Sigma$   $k \rightarrow 1$ ,  $k' = \sqrt{1 - k^2} \rightarrow 0$  и  $-V''/V' \rightarrow 1/8k'^2 \ln(4/k') \rightarrow \infty$ . Таким образом, область устойчивости в окрестности магнитной оси появляется лишь при достаточно большом  $\beta > 2, 2$ , а при  $\beta < 2, 2$  устойчивая зона имеется только в окрестности граничной поверхности  $\Sigma$ , и ее ширина стремится к нулю при  $\beta \rightarrow 0$  (см. рис.2).

3. О равновесии и устойчивости плазмOIDов, содержащих все три компоненты плотности

а. Если ограничиться первой меридиональной модой  $n = 1$ , то, согласно (2), решение, удовлетворяющее граничному условию  $\psi(R, \theta) = 0$  на поверхности сферы  $r = R$ , запишется в виде

$$\psi = a_0 \left[ r^2 - \frac{R^2 f_1(\alpha r)}{f_1(\alpha R)} \right] \sin^2 \theta, \quad \psi_e = \frac{B_{0e}}{2} \left( r^2 - \frac{R^3}{r} \right) \sin^2 \theta, \quad (11)$$

где

$$a_0 = -\frac{p'}{\alpha^2} = \frac{B_0/2}{1 - \alpha^2 R^2/3f_2(\alpha R)}, \quad B_{0e} = \frac{2a_0 \alpha R f_2(\alpha R)}{3f_1(\alpha R)}.$$

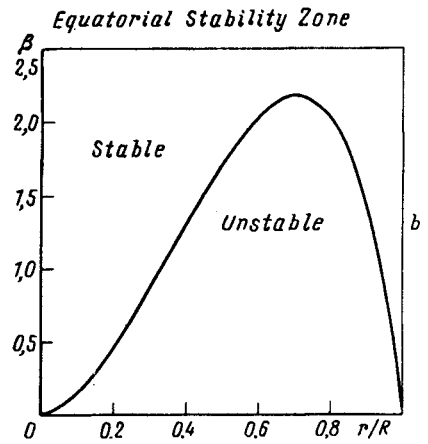
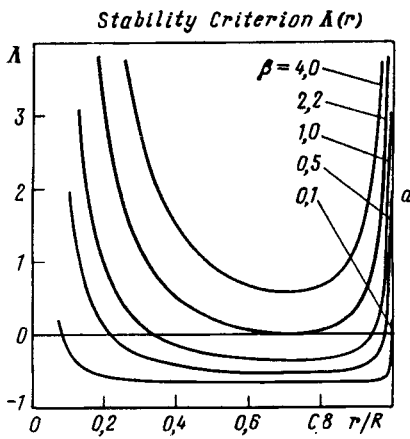


Рис.2.

Распределение давления внутри сферы  $r = R$  определяется формулами

$$p = p_0 - \frac{p'^2}{\alpha^2} \Psi(r) \sin^2 \theta, \quad \Psi(r) = r^2 - \frac{R^2 f_1(\alpha r)}{f_1(\alpha R)}. \quad (12)$$

При  $f_2(\alpha R) = 0$  внешнее магнитное поле обращается в нуль. Магнитные поверхности  $\psi = \text{const}$  различных радиальных мод представляют собой системы вложенных торов, разделенных сферическими сепаратрисами. Конфигурация, соответствующая второй радиальной моде, и распределение давления  $p(r)$  в средней плоскости  $\theta = \pi/2$  представлены на рис.3. В отличие от предыдущего случая, давление внутри граничной сферы  $\Sigma$  может быть как больше, так и меньше внешнего давления. Среднее по объему давление внутри плазмоида равно

$$\langle p \rangle = p_0 - \frac{9 f_1(\alpha R) B_{0e}^2}{4 \pi f_2^2(\alpha R)} \left[ 1 - \frac{5 f_2(\alpha R)}{\alpha R f_1(\alpha R)} \right]. \quad (13)$$

Оно также может быть как больше, так и меньше внешнего давления  $p_0$ . Для плазмоида, изображенного на рис.3,  $\langle p \rangle / p_0 = 0,56$ , а для существования равновесной конфигурации с  $p \geq 0$  необходимо  $\beta = 8 \pi p_0 / B_{0e}^2 > 3,7$ .

Плазмод, имеющий сфероидальную граничную поверхность, можно получить суперпозицией первой и третьей меридиональных мод  $n = 1$  и  $n = 3$ :

$$\psi = -\frac{p'}{\alpha^2} [r^2 - a_1 f_1(r) - a_3 f_3(r)(1 - 5 \cos^2 \theta)] \sin^2 \theta. \quad (14)$$

При этом коэффициенты  $a_1$  и  $a_3$  определяются из условия прохождения граничной поверхности  $\psi = 0$  через окружность  $r = R$ ,  $\theta = \pi/2$  и точки  $r = z$ ,  $\theta = 0, \pi$ :

$$a_1 = [R^2 f_3(z) + 4z^2 f_3(R)]/D, \quad a_3 = [R^2 f_1(z) - z^2 f_1(R)]/D, \\ D = 4f_1(R)f_3(z) + f_1(z)f_3(R).$$

Для  $z = R$  отсюда следует  $a_3 = 0$  и мы возвращаемся к конфигурации (11) со сферической граничной поверхностью  $r = R$ .

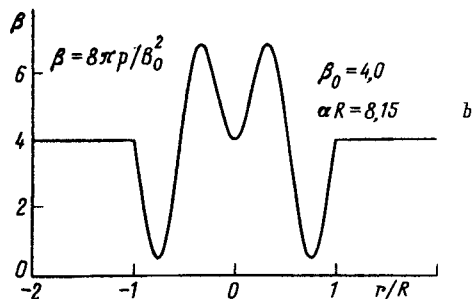
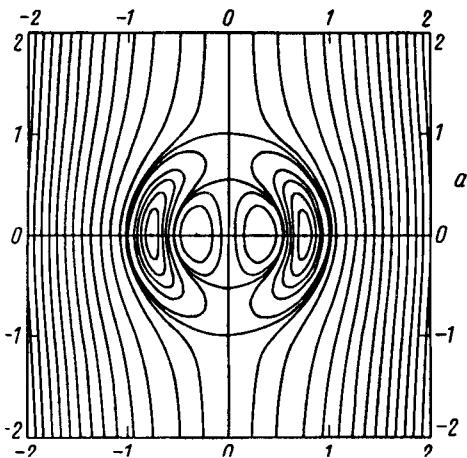


Рис.3.

б. Равновесные конфигурации (11) и (14) относятся к общему случаю применимости необходимого критерия устойчивости Мерсье [6]. Устойчивость по Мерсье аксиально-симметричных конфигураций в окрестности магнитной оси  $r = R_0$ , если равновесная конфигурация представлена разложением

$$\psi - \psi_0 = -\frac{R_0^2}{2} \frac{p'}{1 + \nu^2} \left\{ \left( 1 + c \frac{r^2 - R_0^2}{R_0^2} \right) z^2 + \frac{\nu^2}{4R_0^2} (r^2 - R_0^2)^2 - \frac{c-1}{12R_0^4} (r^2 - R_0^2)^3 \right\},$$

определяется условием [7]

$$p'(V) \left\{ \frac{j_\varphi^2 R_0^2}{B_\varphi^2} - \frac{(\nu^2 + 1)^2}{\nu^4} \left[ 1 + 2 \frac{1-\nu}{1+\nu} - \frac{1-\nu^2}{1+\nu^2} (1+2c) \right] \right\} > 0. \quad (15)$$

Здесь  $j_\varphi$  и  $B_\varphi$  – азимутальные составляющие плотности тока и магнитного поля на магнитной оси  $r = R_0$ ,  $\theta = \pi/2$ , а  $c$  – характеристика треугольности поперечных сечений магнитных поверхностей в окрестности магнитной оси. Для конфигурации с круглыми приосевыми сечениями ( $\nu = 1$ ) и спадающим от оси давлением  $p'(V) < 0$  из (15) следует известное ограничение  $j_\varphi R_0 / B_\varphi < 2$ .

Для равновесной конфигурации (11) положение экстремумов  $r = R_0$  функции  $\psi(r, \theta)$  и значения входящих в (15) параметров выражаются через функции  $f_1(\alpha r)$  и  $f_2(\alpha r)$  при  $r = R_0$ :

$$\alpha R^2 f_1'(\alpha r) / 2r f_1(\alpha R) = 1,$$

$$f_1' = \frac{2f_1}{\alpha r}, \quad \nu^2 = \frac{\alpha r f_1}{f_2} - 1, \quad c = \frac{\alpha r f_1}{2f_2} - \frac{3}{2}, \quad \frac{j_\varphi r}{B_\varphi} = \frac{2f_1}{f_2}.$$

Таким образом, критерий устойчивости конфигурации (11) можно выразить через параметр эллиптичности  $\nu = l_z / l_r$  поперечных сечений магнитных поверхностей в окрестности магнитной оси:

$$p'(V) \left[ \frac{4\nu^4}{\alpha^2 r^2} - \frac{3-\nu}{1+\nu} - \frac{(1-\nu^2)^2}{1+\nu^2} \right] > 0 \quad (16)$$

Производная  $p'(V)$  положительна в минимуме функции  $p(r, \pi/2)$  и отрицательна в максимуме. В случае плазмоида, изображенного на рис.3, конфигурация неустойчива в окрестности внутренней магнитной оси  $r = R_{01}$  и устойчива в окрестности второй магнитной оси  $r = R_{02} > R_{01}$ . Формула (15) показывает, что при  $p'(V) < 0$  более устойчивы конфигурации с малыми  $\nu$ . Соответствующие малые отношения  $l_z/l_r$ , очевидно, будут в сплюснутых эллипсоидах описываемых  $\psi$ -функцией (14). Вывод о большей устойчивости сплюснутых "сферомаков" согласуется с результатом, полученным в [8] для конфигураций, близких к бессиловым  $p' = 0$ .

#### Заклучение

Исследованный класс ограниченных аксиально-симметричных равновесных конфигураций содержит конфигурации, имеющие устойчивые слои в окрестности граничной поверхности. Используя произвольность распределения плотности, можно предположить, что максимальная плотность сосредоточена в устойчивых областях. Таким образом, показана возможность существования ограниченных равновесных конфигураций с повышенной плотностью и, соответственно, пониженной температурой в слое, примыкающем к сепаратрисной граничной поверхности. К таким конфигурациям относятся шлемовидные образования, подобные лучам солнечной короны [9]. Сфероидальные конфигурации (6) и (11) показывают принципиальную возможность существования равновесного плазмоида Кучми [10], удерживаемого давлением внешнего однородного магнитного поля и окружающей сфероид плазмы.

Авторы признательны С.Л.Кучми и М.М.Молоденскому за постановку задачи и плодотворные идеи.

- 
1. Л.Д.Ландау, Е.М.Лифшиц, Электродинамика сплошных сред. М.: "Наука", 1982, с.322-327.
  2. S.Chandrasekhar, PROC. Nat. Acad. Sc. **42**, 1 (1956).
  3. K.H.Prendergast, J.Astrophys. J. **123**, 498 (1956).
  4. G.O.Spies, Phys. Fluids **17**, 400 (1974).
  5. I.Bernstein, E.Frieman, M.Kruskal, and R.Kulsrud, Proc. Roy. Soc. A **244**, 17 (1958).
  6. C.Mercier, Nucl. Fus. **1**, N°3, 213 (1964).
  7. Л.С.Соловьев, В сб. Вопросы теории плазмы. М.: Атомиздат **6**, 210 (1972).
  8. M.N.Rosenbluth and M.N.Bussak, Nucl. Fus. **19**, 489 (1979).
  9. С.Л.Кумчи, В.А.Кутвицкий, М.М.Молоденский, Л.С.Соловьев, АЖ **71**, N°3, 1 (1994).
  10. S.Koutchmy, M.Belmahdi, R.L.Coulter et al., Institut d'Astrophysique de Paris. Prepublication **425**, Octobre, 1 (1993).